

Московский Государственный Университет
имени М. В. Ломоносова
Факультет вычислительной математики и кибернетики
Кафедра математической физики



КУРСОВАЯ РАБОТА СТУДЕНТА 402 ГРУППЫ
Турганбаева Сатбека Амангельдыулы

Тема курсовой работы:

Научный руководитель:
д.ф-м.н. профессор Разгулин А. В.

Москва 2017

Содержание

1	Введение	2
2	Преобразование Хаара	3
2.1	Формулировки и определения	3
2.2	Одномерный сигнал	3
2.3	Дополнение нулями	4
2.4	Двумерное преобразование	5
2.5	Явные формулы для анализа	6
3	Градиенты. Геометрия Хаджина и Фрайда	7
3.1	Геометрия Хаджина и Фрайда	7
3.2	Градиенты и преобразование Хаара	7
4	Вывод формул прямого преобразования	8
4.1	Получение LH, HL квадрантов	8
4.2	Получение HH квадранта	9
5	Программная реализация	10
5.1	Программная реализация метода	10
5.2	Программная реализация интерфейса для исследования метода	10
6	Результаты вычислительных экспериментов	12
7	Заключение.	16

Введение

Системы адаптивной оптики используемые в современных телескопах используют гибкие зеркала, для коррекции аберраций, вызванных турбулентность атмосферы Земли. Одним из устройств для измерения волнового фронта является датчик Шака-Гартмана. Данный датчик измеряет градиент волнового фронта, вместо него самого. Получаются матрицы градиентов X и Y .

В [1] был предложен метод восстановления волнового фронта по его наклонам с использованием преобразования Хаара. Идея метода заключается в том, что наклоны волнового фронта могут быть представлены в виде суперпозиции сверток с фильтрами преобразования Хаара. Используя это соотношение возможно выполнить "замену переменной и получить разложение волнового фронта по вейвлетам Хаара. Затем, применив стандартный алгоритм обратного преобразования получить исходный волновой фронт. Стоит отметить, что в [1] кроме наклонов волнового фронта и его интенсивности также требовалась и интенсивность правого нижнего квадранта $\frac{M-1}{HH}\Phi$, но в более новой статье [2] было предложено более простое решение, и ослаблены требования к начальным данным.

Целью работы является ознакомление с методом, его программная реализация, а также реализация средств для его дальнейшего исследования. В ходе работы были разобраны статьи [1]- [2], и на их основе написана первая часть работы, знакомящая с преобразованием Хаара и методом. При программной реализации был написан ряд модулей, реализующих как сам метод, так и средства для его исследования. В работе описан их функционал. Также приведены примеры работы метода на полиномах Цернике.

Преобразование Хаара

Формулировки и определения

z-преобразованием дискретного сигнала $\{s_j\}_{j \in \mathbb{Z}}$ называется полином Лорана $P_s(z) = \sum_{j \in \mathbb{Z}} s_j z^{-j}$.
 $h = (\frac{1}{\sqrt{2}}, \frac{1}{\sqrt{2}})$, $g = (\frac{1}{\sqrt{2}}, -\frac{1}{\sqrt{2}})$ - низкочастотный и высокочастотный фильтры преобразования Хаара.

$$H_L(z) = \frac{1 + z^{-1}}{\sqrt{2}}$$

$$H_H(z) = \frac{1 - z^{-1}}{\sqrt{2}}$$

$H_L(z)$, $H_H(z)$ - z - преобразования фильтров h и g соответственно.

Линейной сверткой двух дискретных сигналов $a(n)$, $n = 0 \dots N - 1$ и $b(n)$, $n = 0 \dots M - 1$ называется выражение:

$$h = a \otimes b$$
$$h(n) = \sum_{m=0}^n a(m)b(n-m)$$

Ввиду того, что сигналы конечномерные на границах возникает неопределенность из-за отсутствия соответствующих элементов. Проблема решается различными способами: дополнение одного из обоих сигналов 0-ми, константами, симметричное отражение и т.д.

Также одним из свойств z-преобразования является то, что z-преобразование свертки двух сигналов равно произведению z-преобразований этих сигналов.

\uparrow s - операция, добавляющая 0 после каждого элемента сигнала s .

\downarrow_k s - операция, удаляющая каждый k -ый элемент сигнала s .

Если $s = (1, 2, 3, 4)$, то $\uparrow_2 s = (1, 0, 2, 0, 3, 0, 4, 0)$, а $\downarrow_2 s = (1, 3)$.

Также стоит отметить, что:

$$\downarrow_2 H_L(z^{2^k}) = H_L(z^{2^{k-1}}), \quad k \geq 2$$

$$\downarrow_2 H_H(z^{2^k}) = H_H(z^{2^{k-1}}), \quad k \geq 2$$

$$\uparrow_2 H_L(z^{2^{k-1}}) = H_L(z^{2^k}), \quad k \geq 2$$

$$\uparrow_2 H_H(z^{2^{k-1}}) = H_H(z^{2^k}), \quad k \geq 2$$

В дальнейшем под сигналом будет пониматься его z-преобразование и наоборот.

Одномерный сигнал

Будем предполагать в дальнейшем, что размерность сигналов равна 2^m , $m \geq 1$.

Свернем сигнал $h_m(z)$, $\dim h_m = 2^m$ с фильтрами $H_L(z)$, $H_H(z)$, а затем применим к получившемуся операции \downarrow_2 .

Получим сигналы:

$$h_{L_{m-1}}(z) = \downarrow_2 \{h_m(z)H_L(z)\}$$

$$h_{H_{m-1}}(z) = \downarrow_2 \{h_m(z)H_H(z)\}.$$

Их размерности будут в два раза меньше, размерности исходного сигнала h_m .

$h_{L_{m-1}}(z)$ называется низкочастотной составляющей сигнала h_m , а $h_{H_{m-1}}(z)$ высокочастотной.

Восстановление исходного сигнала происходит так:

$$h_m(z) = \uparrow_2 \{h_{L_{m-1}}(z)\}H_L(z) + \uparrow_2 \{h_{H_{m-1}}(z)\}H_H(z)$$

Описанные выше преобразования выполняют один шаг прямого и обратного преобразования Хаара. Прямое преобразование называется анализом, обратное синтезом.

Если положить, что $h_m = h_{L_m}$, то алгоритм анализа выглядит так:

k называется разрешением разложения. Анализ будет происходить до тех пор, пока не останется один элемент.

Algorithm 2 Алгоритм синтеза

for $k = m \dots 1$ **do**

$$h_{L_{m-k+1}}(z) = \uparrow_2 \{h_{L_{m-k}}(z)\}H_L(z^{-1}) + \uparrow_2 \{h_{H_{m-k}}(z)\}H_H(z^{-1})$$

end for

Algorithm 1 Алгоритм анализа

for $k = 1 \dots m$ **do**

$$h_{L_{m-k}}(z) = \downarrow_2 \{h_{L_{m-k+1}}(z)H_L(z)\}$$

$$h_{H_{m-k}}(z) = \downarrow_2 \{h_{L_{m-k+1}}(z)H_H(z)\}.$$

end for

Дополнение нулями

В описываемом методе при анализе будем дополнять нулями справа, а при синтезе слева. Ниже приведены примеры анализа и синтеза сигнала $(1, 2, 3, 4)$. Для наглядности используются нестандартные пары фильтров, $[1, 1]$, $[1, -1]$ и $[0.5, 0.5]$, $[0.5, -0.5]$.

Анализ

$[1, 2, 3, 4], 0$

$[1, 1]$

$[3, 5, 7, 4]$

\downarrow_2

$[3, 7]$

$[3, 7], 0$

$[1, 1]$

$[10, 7]$

\downarrow_2

$[10]$

$[1, 2, 3, 4], 0$

$[-1, 1]$

$[1, 1, 1, -4]$

\downarrow_2

$[1, 1]$

$[3, 7], 0$

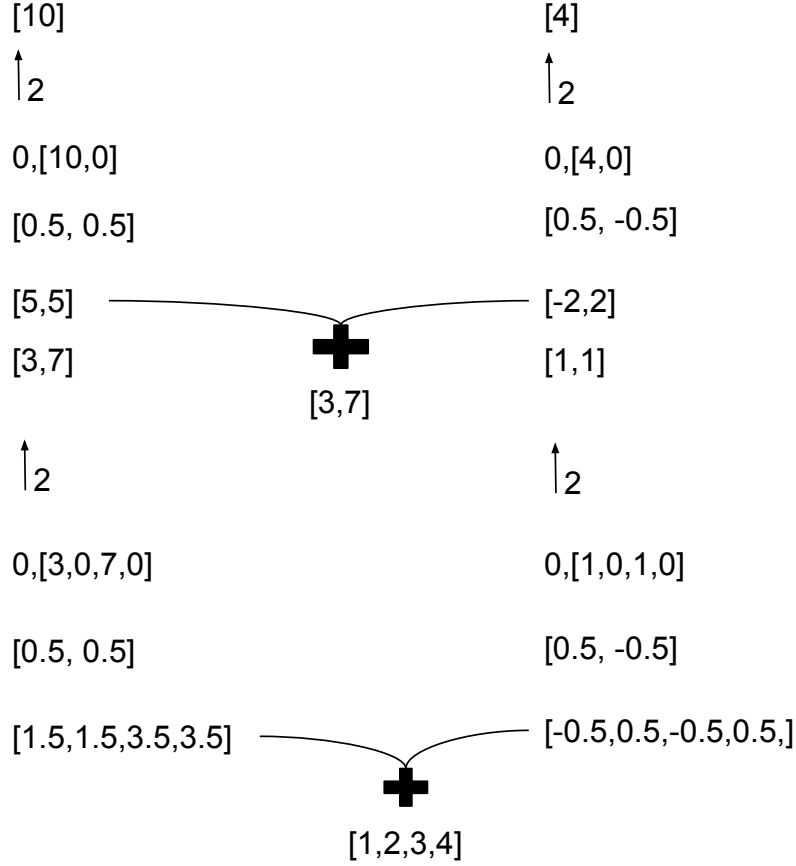
$[-1, 1]$

$[4, -7]$

\downarrow_2

$[4]$

Синтез



Двумерное преобразование

Пусть дана матрица ${}^M\Phi, {}^M\Phi \in \mathbb{R}^{2^M \times 2^M}$. Применим к каждой строке матрицы один шаг анализа. В результате получим матрицы ${}^{m-1}_L\Phi, {}^{m-1}_H\Phi$. К каждому столбцу обеих матриц также применим шаг анализа. В итоге получим четыре матрицы ${}^{m-1}_{LL}\Phi, {}^{m-1}_{LH}\Phi, {}^{m-1}_{HL}\Phi, {}^{m-1}_{HH}\Phi$. ${}^{m-1}_{LL}\Phi$ - является низкочастотной составляющей двумерного сигнала, остальные три матрицы содержат детализирующую информацию. Таким образом будет выполнен первый шаг двумерного преобразования Хаара. Нужно проделать аналогичные операции с ${}^{m-1}_{LL}\Phi$ для следующего шага. Таким образом, шаг двумерного преобразования свелся к композиции одномерных преобразований.

Синтез происходит аналогичным образом: в обратном анализе порядке дополняется нулями соответствующая размерность и применяются фильтры Хаара, а затем результаты складываются.

Пусть ${}^M\Phi = {}^M_{LL}\Phi$

Algorithm 3 Алгоритм 2D-анализа

```

for  $k = M \dots 1$  do
     ${}^{k-1}_{LL}\Phi = \downarrow_2 \{ {}^k_{LL}\Phi H_L(z_h) H_L(z_v) \}$ 
     ${}^{k-1}_{LH}\Phi = \downarrow_2 \{ {}^k_{LL}\Phi H_L(z_h) H_H(z_v) \}$ 
     ${}^{k-1}_{HL}\Phi = \downarrow_2 \{ {}^k_{LL}\Phi H_H(z_h) H_L(z_v) \}$ 
     ${}^{k-1}_{HH}\Phi = \downarrow_2 \{ {}^k_{LL}\Phi H_H(z_h) H_H(z_v) \}$ 
end for

```

Algorithm 4 Алгоритм 2D-синтеза

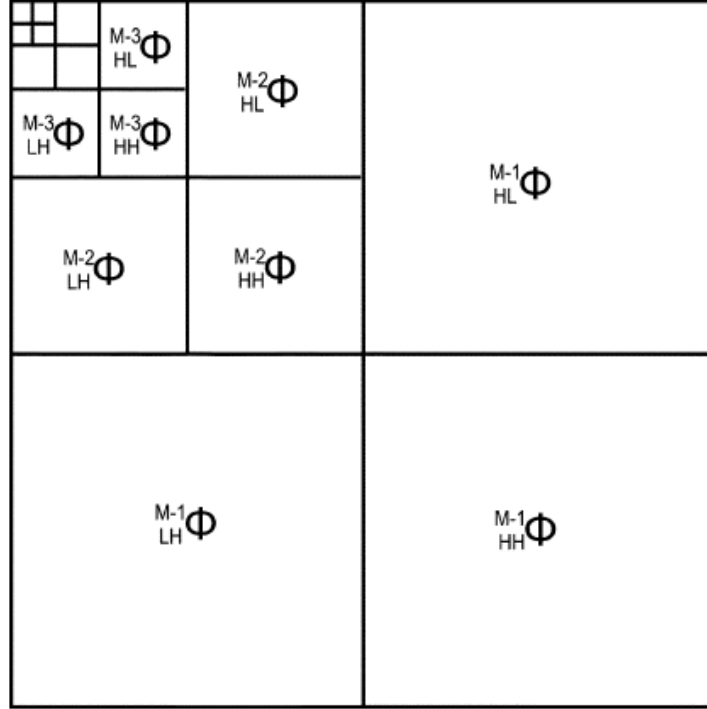
```

for  $k = 1 \dots M$  do
     ${}^{k-1}_{LL}\Phi = \uparrow_2 \{ {}^k_{LL}\Phi H_L(z_v^{-1}) + {}^k_{LH}\Phi H_L(z_v^{-1}) \} H_L(z_h^{-1}) + \uparrow_2 \{ {}^k_{HL}\Phi H_L(z_v^{-1}) + {}^k_{HH}\Phi H_L(z_v^{-1}) \} H_H(z_h^{-1})$ 
end for

```

Полученное 2-D разложение можно представить в виде диаграммы, где на каждом уровне LL , LH , HL и

HH составляющим соответствуют определенные квадранты.



Явные формулы для анализа

Из алгоритма анализа непосредственно выводятся формулы для LL , LH , HL и HH составляющих на каждом уровне.

$${}_{LL}^{M-m}\Phi = \downarrow_{2^m} \{ {}^M\Phi \prod_{k=0}^{m-1} H_L(z_h^{2^k}) \prod_{k=0}^{m-1} H_L(z_v^{2^k}) \} \quad (1)$$

$${}_{LH}^{M-m}\Phi = \downarrow_{2^m} \{ {}^M\Phi H_H(z_v^{2^{m-1}}) \prod_{k=0}^{m-1} H_L(z_h^{2^k}) \prod_{k=0}^{m-2} H_L(z_v^{2^k}) \} \quad (2)$$

$${}_{HL}^{M-m}\Phi = \downarrow_{2^m} \{ {}^M\Phi H_H(z_h^{2^{m-1}}) \prod_{k=0}^{m-2} H_L(z_h^{2^k}) \prod_{k=0}^{m-1} H_L(z_v^{2^k}) \} \quad (3)$$

$${}_{HH}^{M-m}\Phi = \downarrow_{2^m} \{ {}^M\Phi H_H(z_v^{2^{m-1}}) H_H(z_v^{2^{m-1}}) \prod_{k=0}^{m-2} H_L(z_h^{2^k}) \prod_{k=0}^{m-2} H_L(z_v^{2^k}) \} \quad (4)$$

Градиенты. Геометрия Хаджина и Фрайда

Геометрия Хаджина и Фрайда

В адаптивной оптике используются два различных способа представления наклонов волнового фронта. Согласно [3] это геометрии Хаджина и Фрайда. Геометрия Хаджина:

$${}_H x_{i,j} = -\phi_{i,j} + \phi_{i,j+1}$$

$${}_H y_{i,j} = -\phi_{i,j} + \phi_{i+1,j}$$

Получившиеся матрицы ${}_H^M X$, ${}_H^M Y$ имеют размерности $2^M \times (2^M - 1)$ и $(2^M - 1) \times 2^M$ соответственно. Геометрия Фрайда:

$${}_F x_{i,j} = \frac{{}_H x_{i,j} + {}_H x_{i+1,j}}{2} = \frac{-\phi_{i,j} + \phi_{i,j+1} - \phi_{i+1,j} + \phi_{i+1,j+1}}{2}$$

$${}_F y_{i,j} = \frac{{}_H y_{i,j} + {}_H y_{i,j+1}}{2} = \frac{-\phi_{i,j} - \phi_{i,j+1} + \phi_{i+1,j} + \phi_{i+1,j+1}}{2}$$

Получившиеся матрицы ${}_F^M X$, ${}_F^M Y$ имеют одинаковые размерности $2^M - 1 \times 2^M - 1$.

Градиенты и преобразование Хаара

Справедливы следующие соотношения.

$${}_H^M X = {}^M \Phi \sqrt{2} H_H(z_h) \quad (5)$$

$${}_H^M Y = {}^M \Phi \sqrt{2} H_H(z_v) \quad (6)$$

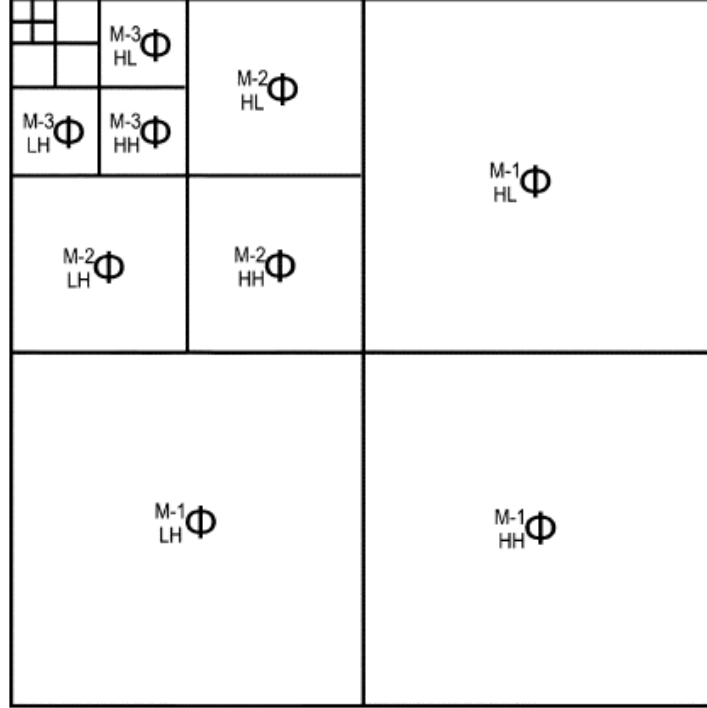
$${}_F^M X = \frac{{}_H^M X H_L(z_v)}{\sqrt{2}} = {}^M \Phi H_H(z_h) H_L(z_v) \quad (7)$$

$${}_F^M Y = \frac{{}_H^M Y H_L(z_h)}{\sqrt{2}} = {}^M \Phi H_L(z_h) H_H(z_v) \quad (8)$$

Вывод формул прямого преобразования

Рассмотрим случай, когда известны вертикальные и горизонтальные наклоны, а также интенсивность волнового фронта. Иначе говоря имеются: ${}^M_F X$, ${}^M_F Y$, ${}^M_H X$, ${}^M_H Y$, ${}^L_L \Phi$.

Необходимо получить из имеющихся данных получить $2D$ -разложение волнового фронта, а затем восстановить сам волновой фронт, применив к полученному разложению стандартный алгоритм синтеза.[1] Диаграмма разложения которое необходимо получить будем аналогична диаграмме стандартного разложения:



Отличаться будут лишь формулы (1)-(4). "Идейно" метод заключается в замене переменной. Используя соотношения (5)-(8), получим аналоги (1)-(4).

Получение LH, HL квадрантов

Из соотношений (5), (6) и (3), (2) соответственно, непосредственно вытекает, что:

$$\begin{aligned} {}^{M-1}_{HL} \Phi &= \downarrow_2 {}^M_F X \\ {}^{M-1}_{LH} \Phi &= \downarrow_2 {}^M_F Y \end{aligned}$$

Докажем справедливость выражения $H_H(z^{2^{m-1}}) = \sqrt{2}^{m-1} H_H(z) \prod_{k=0}^{m-2} H_L(z^{2^k})$

Доказательство. Запишем $H_H(z^{2^{m-1}})$ в виде полинома

$$\begin{aligned} H_H(z^{2^{m-1}}) &= \frac{1 - z^{2^{m-1}}}{\sqrt{2}} \\ \frac{1 - z^{2^{m-1}}}{\sqrt{2}} &= \frac{(1 - z^{2^{m-2}})(1 + z^{2^{m-2}})}{\sqrt{2}} = \dots = \frac{(1 - z)(1 + z)(1 + z^2) \dots (1 + z^{2^{m-2}})}{\sqrt{2}} \\ H_H(z^{2^{m-1}}) &= \sqrt{2}^{m-1} H_H(z) \prod_{k=0}^{m-2} H_L(z^{2^k}) \end{aligned}$$

□

LH, $m > 1$:

$${}^{M-m}_{LH} \Phi = \downarrow_{2^m} \{ {}^M \Phi [H_H(z^{2^{m-1}})] [\prod_{k=0}^{m-1} H_L(z^{2^k})] \prod_{k=0}^{m-2} H_L(z^{2^k}) \} =$$

$$\begin{aligned}
& = \downarrow_{2^m} \{ {}^M\Phi [\sqrt{2}^{m-1} H_H(z_v) \prod_{k=0}^{m-2} H_L(z_v^{2^k})] [H_L(z_h) \prod_{k=1}^{m-1} H_L(z_h^{2^k})] \prod_{k=0}^{m-2} H_L(z_v^{2^k}) \} \\
& = \sqrt{2}^{m-1} \downarrow_{2^m} \{ {}^M\Phi H_L(z_h) H_H(z_v) \prod_{k=1}^{m-1} H_L(z_h^{2^k}) \prod_{k=0}^{m-2} H_L^2(z_v^{2^k}) \} \\
& = \sqrt{2}^{m-1} \downarrow_{2^m} \{ {}^M_Y \prod_{k=1}^{m-1} H_L(z_h^{2^k}) \prod_{k=0}^{m-2} H_L^2(z_v^{2^k}) \}
\end{aligned}$$

НЛ, $m > 1$:

Выводится аналогично, ЛН

$${}^{M-m}_{HL}\Phi = \sqrt{2}^{m-1} \downarrow_{2^m} \{ {}^M_Y \prod_{k=0}^{m-2} H_L^2(z_h^{2^k}) \prod_{k=1}^{m-1} H_L(z_v^{2^k}) \}$$

Получение НН квадранта

НН, $m = 1:2$

Докажем, что ${}^{M-1}_{HH}\Phi \downarrow_2 \{ \frac{\sqrt{2}}{4} [{}^M_H X H_H(z_v) + {}^M_H Y H_H(z_h)] \}$

Доказательство. Известно, что ${}^{M-1}_{HH}\Phi = \downarrow_2 [{}^M\Phi H_H(z_h) H_H(z_v)]$.

Распишем ${}^{M-1}_{HH}\Phi = \downarrow_2 \{ \frac{\sqrt{2}}{2} \sqrt{2} {}^M\Phi H_H(z_h) H_H(z_v) \}$, выделив из (7) ${}^M_H X$ получим:

$${}^{M-1}_{HH}\Phi = \downarrow_2 \{ \frac{\sqrt{2}}{2} {}^M_H X H_H(z_v) \} = \downarrow_2 \{ \frac{\sqrt{2}}{4} 2 {}^M_H X H_H(z_v) \}$$

Разделив (7) на (8) получим:

$${}^M_H X H_H(z_v) = {}^M_H Y H_H(z_h)$$

Отсюда получим:

$${}^{M-1}_{HH}\Phi \downarrow_2 \{ \frac{\sqrt{2}}{4} [{}^M_H X H_H(z_v) + {}^M_H Y H_H(z_h)] \}$$

□

НН, $m > 1$:

$$\begin{aligned}
& {}^{M-m}_{HH}\Phi = \downarrow_{2^m} \{ {}^M\Phi H_H(z_v^{2^{m-1}}) H_H(z_v^{2^{m-1}}) \prod_{k=0}^{m-2} H_L(z_h^{2^k}) \prod_{k=0}^{m-2} H_L(z_v^{2^k}) \} = \\
& = \downarrow_{2^m} \{ {}^M\Phi \sqrt{2}^{m-1} H_H(z_h) \prod_{k=0}^{m-2} H_L(z_h^{2^k}) \prod_{k=0}^{m-2} H_L(z_h^{2^k}) H_H(z_v^{2^{m-1}}) H_L(z_v) \prod_{k=1}^{m-2} H_L(z_v^{2^k}) \} = \\
& = \sqrt{2}^{m-1} \downarrow_{2^m} \{ {}^M_X \prod_{k=0}^{m-2} H_L^2(z_h^{2^k}) H_H(z_v^{2^{m-1}}) \prod_{k=1}^{m-2} H_L(z_v^{2^k}) \}
\end{aligned}$$

Программная реализация

Программная реализация представляет из себя две группы модулей на языке Python 3.6.

Первая группа реализует сам метод и предоставляет функции *analyze* и *synthesis*. Вторая группа отвечает за реализацию интерфейса для дальнейшего изучения метода.

Рассмотрим подробнее структуру первой группы модулей.

Программная реализация метода

Список группы модулей, реализующих сам метод:

- **data.py**
- **gradients.py**
- **measurements.py**
- **util.py**
- **decomposition.py**

data.py - модуль отвечает за задание начальных данных. Предоставляет функцию *get_plane*, которая задает сетку размера $2^M \times 2^M$ для дальнейших вычислений.

gradients.py - модуль предоставляет функции для нахождения градиента от заранее известной матрицы. В модуле находятся функции: *Fried_gradient_model* и *Hudgin_gradien_model*, которые возвращают градиенты по геометриям Фрайда и Хаджина.

measurements.py - модуль предоставляет функции для нахождения метрик схожести изображений. Модуль включает функцию *mse*, которая находит среднее квадратичное отклонение двух изображений.

util.py - служебный модуль, используемый другими. Предоставляет функции для свертки сигналов, работы с z -преобразованиями. Включает в себя функции:

- *downsample* - реализует операцию \downarrow_k с одномерными и двумерными массивами
- *convolve_2d* - осуществляет свертку двумерного массива с фильтром либо по строкам, либо по столбцам;
- *GetH_h* - возвращает вектор, соответствующий z -преобразованию $H_H(z^k)$, для $k \geq 1$.
- *GetH_l* - возвращает вектор, соответствующий z -преобразованию $H_L(z^k)$, для $k \geq 1$.

decomposition.py - реализуется разложение двумерного сигнала по вейвлетам Хаара. Основными функциями являются *analyze* и *synthesis* - именно они реализуют прямое и обратное преобразования Хаара. Ввиду того, что уже существует крупная библиотека, реализующая вейвлет преобразования **pywt (PyWavelets)**, результат функции *analyze* не конфликтует с результатом библиотечной функции *pywt.dwt2*, реализующей прямые вейвлет преобразования двумерных сигналов. Ввиду того, что в методе используется стандартный алгоритм обратного преобразования Хаара функция *synthesis*, реализующая его является оберткой над библиотечной функций *pywt.idwt2*.

Программная реализация интерфейса для исследования метода

Интерфейс для исследования метода реализуется двумя модулями **research.py** и **view.py**.

research.py используя модули из другой группы, предоставляет функции, которые возвращают информацию необходимую для исследования метода. Модуль предоставляет функцию *get_all*.

get_all(func, grad_x, grad_y, x_s, x_e, y_s, y_e, M)

Функция принимает в качестве параметров три функции: исходную функцию и два её градиента в явном виде, затем функция принимает параметры для задания сетки, на которой будут заданы функция и ее градиенты. Функция вычисляет следующий набор данных:

- исходную функцию
- исходные градиенты
- $^M_H X$, $^M_H Y$ составляющие от градиента
- $^M_F X$, $^M_F Y$ составляющие от градиента
- LL , LH , HL , HH квадранты разложения

- среднеквадратичное отклонение исходной функции от восстановленной ($LL[M]$)
- размерность матрицы, M

view.py отвечает за визуализацию и детализацию информации полученной из **research.py**. Предоставляет функцию *show_all*.

show_all(func, grad_x, grad_y, x_s, x_e, y_s, y_e, M)

Принимает те же параметры, что и *get_all*, вызывая ее внутри себя. Выводит изображения исходного и восстановленного сигналов. А также печатает следующие данные:

- *mse* от градиентов Хаджина и Фрайда с настоящим градиентом
- интенсивность исходного изображения $LL[0]$
- интенсивность восстановленного изображения
- размерность изображения

Результаты вычислительных экспериментов

Проверка работоспособности метода осуществляется с помощью разработанного интерфейса, функции `view.show_all` на полиномах Цернике.

```
res1 = view.show_all(lambda x,y: x**2 + y**2, lambda x,y: 2*x, lambda x,y: 2*y, -10,10,-10,10, 8)
```

MSE = 3.80501447634

M = 8

Погрешность X_H = 0.00173472591962

Погрешность Y_H = 0.00173472591962

Погрешность X_F = 0.00174152876636

Погрешность Y_F = 0.00174152876636

Интенсивность исходного изображения [17200.52287582]

Интенсивность полученного изображения 17200.5228758

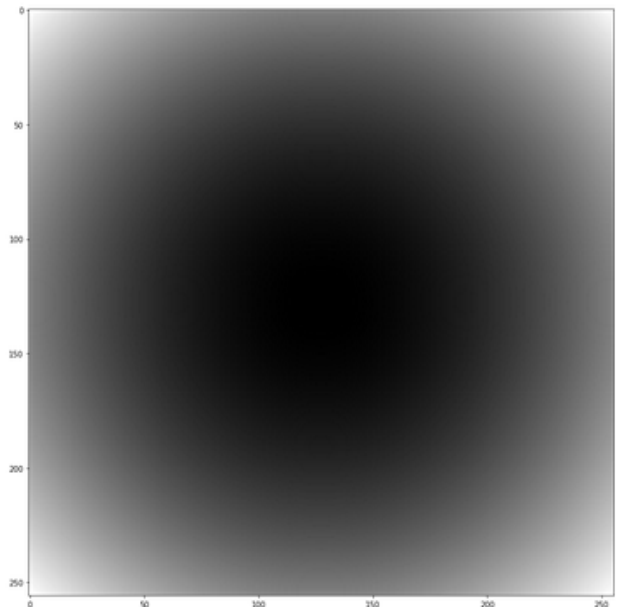
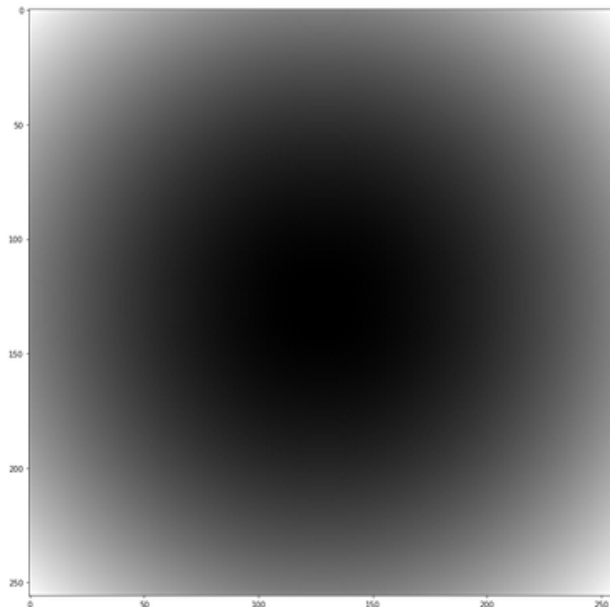


Рис. 1: Полином $R_2^2(x, y) = x^2 + y^2$

```
res4 = view.show_all(lambda x,y:np.sqrt(x**2 + y**2),lambda x,y: x/(np.sqrt(x**2 + y**2)),
                     lambda x,y: y/(np.sqrt(x**2 + y**2)), -1,1,-1,1,8 )|
```

MSE = 0.0199708528987

M = 8

Погрешность X_H= 7.52283833243e-06

Погрешность Y_H= 7.52283833243e-06

Погрешность X_F= 7.56921994279e-06

Погрешность Y_F= 7.56921994279e-06

Интенсивность исходного изображения [196.65714983]

Интенсивность полученного изображения 196.657149828

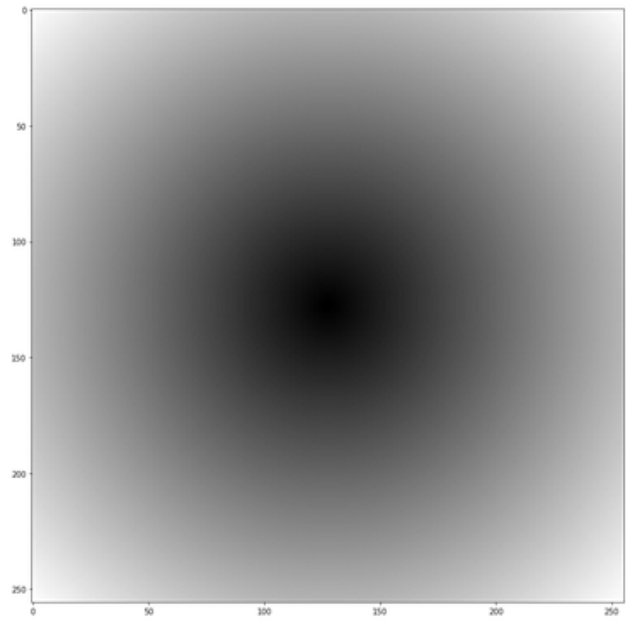
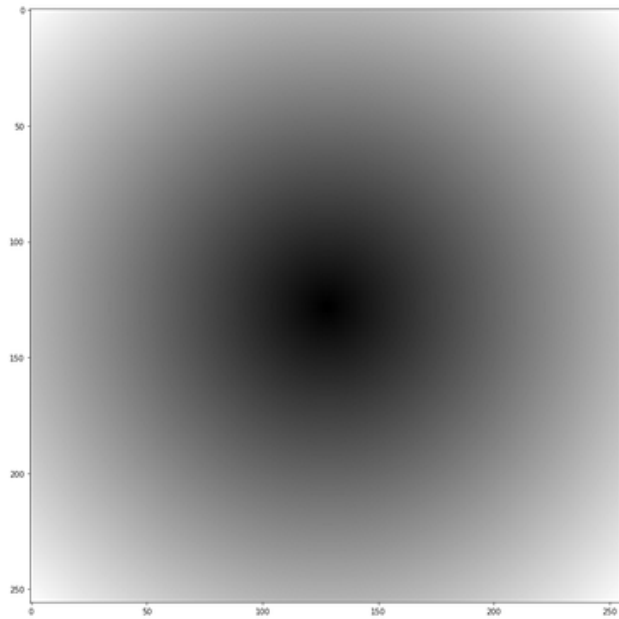


Рис. 2: Полином $R_1^1(x, y) = \sqrt{x^2 + y^2}$

```
res5 = view.show_all(lambda x,y:2*(x**2 + y**2) - 1,lambda x,y: 4*x,
                     lambda x,y: 4*y, -1,1,-1,1,8 )
```

MSE = 0.176402836387

M = 8

Погрешность X_H= 8.04253462403e-05

Погрешность Y_H= 8.04253462403e-05

Погрешность X_F= 8.0740739755e-05

Погрешность Y_F= 8.0740739755e-05

Интенсивность исходного изображения [88.01045752]

Интенсивность полученного изображения 88.0104575163

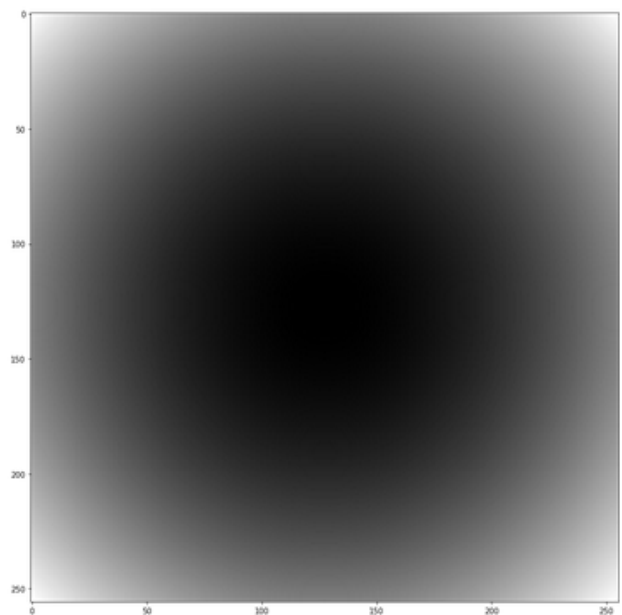
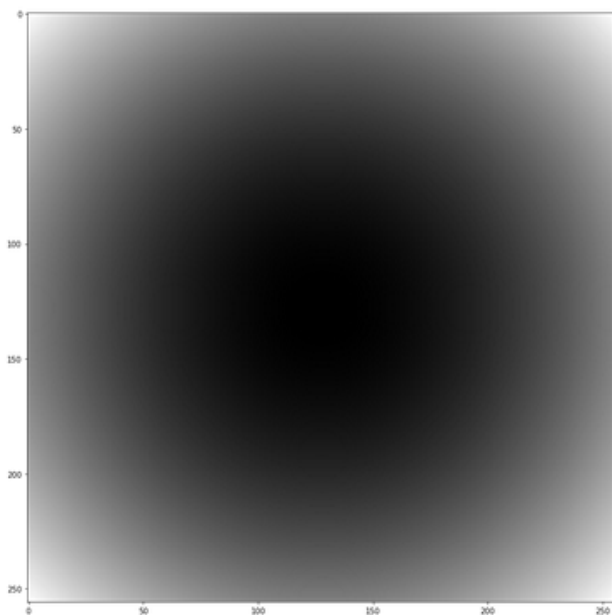


Рис. 3: Полином $R_2^0(x, y) = 2(x^2 + y^2) - 1$

```
res6 = view.show_all(lambda x,y:(x**2 + y**2)*np.sqrt(x**2 + y**2),
                    lambda x,y: 2*x*np.sqrt(x**2 + y**2) + x**3/(np.sqrt(x**2 + y**2)) + x*y**2/np.sqrt(x**2 + y**2),
                    lambda x,y:2*y*np.sqrt(x**2 + y**2) + y**3/(np.sqrt(x**2 + y**2)) + y*x**2/np.sqrt(x**2 + y**2),
                    -1,1,-1,1,8)
```

MSE = 0.0730984256568

M = 8

Погрешность X_H= 4.23435565271e-05

Погрешность Y_H= 4.23435565271e-05

Погрешность X_F= 4.23913425186e-05

Погрешность Y_F= 4.23913425186e-05

Интенсивность исходного изображения [162.45008259]

Интенсивность полученного изображения 162.450082592

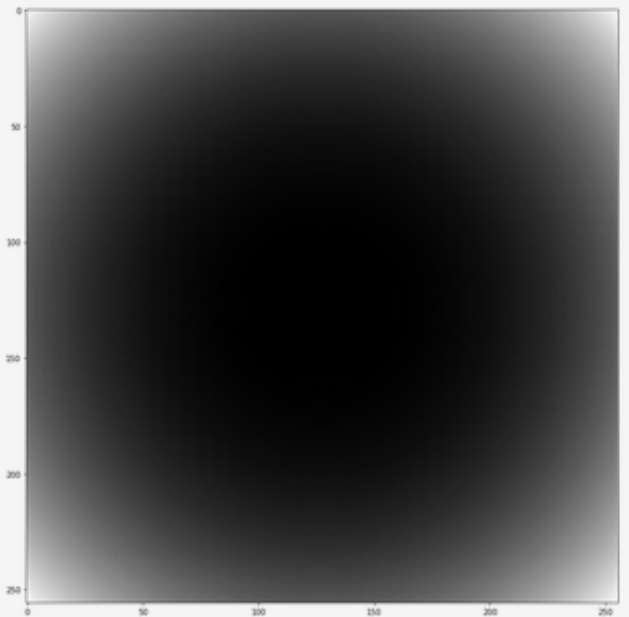
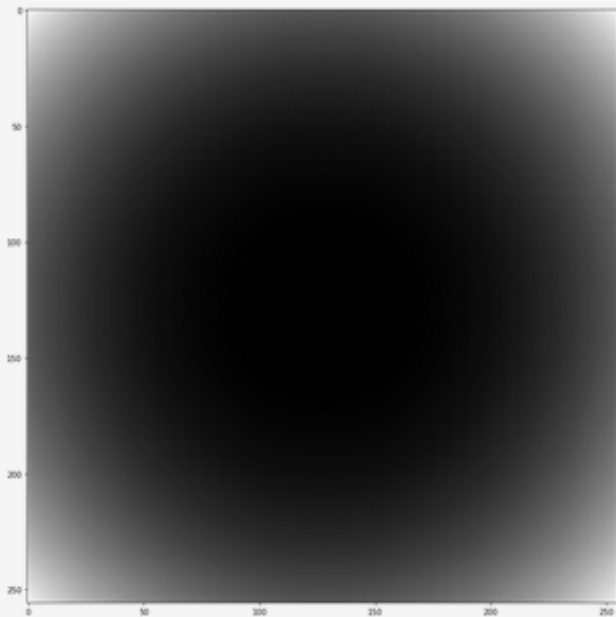


Рис. 4: Полином $R_3^3(x, y) = (x^2 + y^2)\sqrt{x^2 + y^2}$

Заключение

В ходе работы удалось реализовать метод и проверить его работоспособность. Однако, реализовать именно тот алгоритм, который был предложен в [1] и [2] не удалось. Был использован менее эффективный по производительности алгоритм на основе формул для прямого преобразования. Были написаны модули для работы и исследования метода, с обособленной логикой, что позволит упростить дальнейшую разработку. Удалось инкапсулировать неоднозначную работу со сверткой сигналов и z-преобразованиями, и избежать конфликтов с модулем `ruwt`, что может быть в дальнейшем при тестировании.

Из полученных программой результатов можно сделать вывод, что точность восстановления зависит от точности аппроксимации производной моделями Хаджина и Фрайда. Однако это требует дополнительных исследований.

Метод обладает ресурсом параллелизма, а алгоритм возможно оптимизировать.

Список литературы

- [1] IEEE Pan Agathoklis Senior Member IEEE Peter J. Hampton, Student Member and Colin Bradley. A new wave-front reconstruction method for adaptive optics systems using wavelets. *IEEE JOURNAL OF SELECTED TOPICS IN SIGNAL PROCESSING*, 2008.
- [2] Panajotis Agathoklis Ioana S. Sevcenco, Peter J. Hampton. A wavelet based method for image reconstruction from gradient data with applications. *Springer Science+Business Media New York*, 2013.
- [3] D. T. Gavel L. A. Poyneer and J. M. Brase. Fast wavefront reconstruction in large adaptive optics systems with the fourier transform. *J. Opt. Soc. Amer. A*, 2002.